

определения интегральных потоков составляет не более 7%, должна быть не менее 1 Мэв;

2) относительная ошибка восстановленных данных увеличивается не более чем в 2–3 раза по отношению к ошибке в исходных данных;

3) наименьшее уклонение восстановленных данных наблюдается в середине интервалов. Ошибка в этих

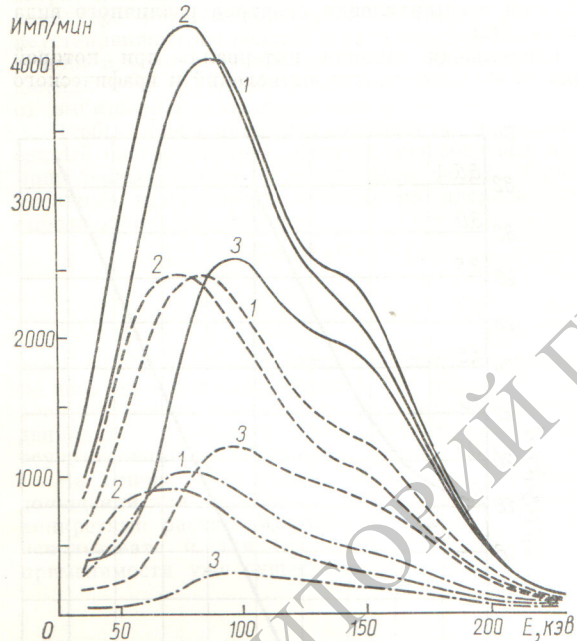
точках не превышает 10–15% при неточности исходных данных 10%.

(№ 404/5714. Поступила в Редакцию 13/I 1970 г. Полный текст 0,4 а. л., 4 рис., 1 табл., 9 библиографических ссылок).

## Спектр рассеянного $\gamma$ -излучения на малых расстояниях от источника

В. И. Уткин

В приближении непрерывных потерь получено \* соотношение, определяющее значение энергии, соответствующей максимуму спектра многократно рассеянного  $\gamma$ -излучения в состоянии условного равновесия



Спектр рассеянного  $\gamma$ -излучения источника  $\text{Se}^{75}$  в средах:

1 — графит насыщенный; 2 — графит блочный; 3 — песок кварцевый; длина зонда: — 7,5 см; - - - 10,5 см;

УДК 539.42:535.23.08

весия (критическая энергия):  $\mu_{Rh}(\varepsilon) = \frac{d}{d\varepsilon} [\mu_e(\varepsilon) \Delta\varepsilon]$ , где  $\mu_{Rh}(\varepsilon)$  — коэффициент фотопоглощения;  $\mu_e(\varepsilon)$  — коэффициент комптоновского взаимодействия;  $\Delta\varepsilon$  — средняя энергия, теряемая  $\gamma$ -квантами при однократном столкновении с электроном. Полученные данные хорошо согласуются с результатами точных численных расчетов и экспериментов.

Для различных источников ( $\text{Tu}^{170}$ ,  $\text{Se}^{75}$ ,  $\text{Cs}^{137}$ ) и рассеивающих сред (графит, вода, песок, алюминий) экспериментально показано, что в случае, когда состояние условного равновесия не достигнуто, энергия, соответствующая максимуму спектра, больше критической. Определено, на каком расстоянии от источника (длина зонда) достигается состояние условного равновесия для рассеянных  $\gamma$ -квантов.

Для указанных выше источников и рассеивающих сред наблюдалось явление инверсии (независимость величины интегральной интенсивности от плотности), которое возникает в том случае, когда состояние условного равновесия не достигнуто и изменения спектральных интенсивностей в «мягкой» и «жесткой» частях спектра равны (см. рисунок). Величина зонда инверсии зависит от спектральной чувствительности детектора: при измерении только жесткой компоненты величина зонда инверсии уменьшается и при дальнейшем увеличении энергии регистрируемых  $\gamma$ -квантов явление инверсии вообще не может быть достигнуто; при измерении только мягкой компоненты величина зонда инверсии совпадает с расстоянием, на котором устанавливается состояние условного равновесия.

(№ 405/5653. Статья поступила в Редакцию 20/XI 1969 г., аннотация — 20/I 1970 г. Полный текст 0,35 а. л., 3 рис., 2 табл., 4 библиографические ссылки).

## Об эффективности радиаторов и

В. М. ЛЕНЧЕНКО, Е. В. САЗОНОВА, Л. А. СОФИЕНКО

Проведен расчет энергии, излучаемой радиаторами или поглощаемой поглотителями заряженных частиц ( $\alpha$ -,  $\beta$ -частиц, комптон- и фотоэлектронов и т. д.) для трех геометрий радиаторов (поглотителей): цилинд-

## поглотителей заряженных частиц

УДК 539.2:539.16.04

рических (нитевидных), пленочных и шариковых. Энергия представлена в виде

$$Q = V \int N(\varepsilon) K(\varepsilon, Z) \varepsilon d\varepsilon. \quad (1)$$

Здесь  $V$  — объем радиатора (поглотителя);  $N(\varepsilon) d\varepsilon$  — число заряженных частиц, созданных в единице объема радиатора (для поглотителя — в единице объема внеш-

\* В. С. Анастасевич. «Атомная энергия», 10, 389 (1961).

ней излучающей среды) за определенное время;  $\varepsilon$  — начальная энергия частицы;  $K(\varepsilon, Z)$  — эффективность радиатора (поглотителя), где  $Z$  — совокупность параметров, характеризующих геометрию радиаторов (поглотителей), а также их тормозные способности.

Показано, что  $K(\varepsilon, Z)$  для радиатора зависит от  $\varepsilon$  и  $Z$  только через параметры  $x = \frac{R_1(\varepsilon)}{d}$  и  $n_1$ , а для погло-

тителя — также и от  $R_2(\varepsilon)$  и  $n_2$ , где  $R_i(\varepsilon) = A_i \varepsilon^{n_i}$  — зависимость пробега  $R$  от энергии частицы в материале радиатора или поглотителя (среда 1 — материал ячейки Брэгга — Грея) и окружающей среды (среда 2 — материал стенок ячейки Брэгга — Грея).

Из результатов расчетов следует, что  $K_r(\varepsilon, Z) \equiv K_r(x)$  меняется от нуля до единицы при уменьшении размеров радиатора ( $d$  — диаметра шарика, нити или толщины пленки), т. е. при изменении  $x$  от  $x = 0$  до  $x = \infty$ . Эффективность поглотителя при этом меняется от нуля до значения

$$K_a(x=\infty) = \frac{R_2 n_2}{R_1 n_1 (1+n_2-n_1)} \quad (2)$$

Для излученной (поглощенной) энергии получены следующие предельные значения:

для радиаторов

$$Q_r(x \ll 1) \approx S \frac{n_1}{4(n_1+1)} \int N_1(\varepsilon) R_1(\varepsilon) \varepsilon d\varepsilon; \quad (3)$$

$$Q_r(x \gg 1) = V \int N_1(\varepsilon) \varepsilon d\varepsilon; \quad (4)$$

для поглотителей

$$Q_a(x \ll 1) \approx S \frac{n_2}{4(n_2+1)} \int N_2(\varepsilon) R_2(\varepsilon) \varepsilon d\varepsilon; \quad (5)$$

$$Q_a(x \gg 1) \approx V \frac{n_2}{n_1(1+n_2-n_1)} \int \frac{R_2(\varepsilon)}{R_1(\varepsilon)} N_2(\varepsilon) \varepsilon d\varepsilon. \quad (6)$$

Это значит, что при больших размерах радиаторов (поглотителей) баланс энергии определяется поверхностью  $S$  раздела сред 1 и 2, при малых размерах (меньше пробега частицы) — объемом  $V$  радиатора или поглотителя. В промежуточных случаях, с которыми чаще всего приходится иметь дело на практике, эта зависимость значительно сложнее. Уравнение (6) является обобщением теоремы Брэгга — Грея на случай, когда среды 1 и 2 имеют разные тормозные способности.

(№ 406/5616. Поступила в Редакцию 25/IX 1969 г. Полный текст 0,6 а. л., 2 рис., 4 библиографических ссылки.)

## Электротехнические свойства фарфора в процессе $\gamma$ -облучения

Н. С. КОСТЮКОВ, В. В. ТАЛЫЗИН, М. И. МУМИНОВ, М. И. ЗИЛЬБЕРМАН

УДК 541.13

В связи с необходимостью разработки радиационно-стойких электротехнических и радиотехнических устройств представляет практический интерес изучение изменений свойств электротехнического фарфора под действием  $\gamma$ -облучения.

В данной работе рассмотрено изменение величин  $\rho$ ,  $\operatorname{tg} \delta$ ,  $\varepsilon$  и температуры электротехнического фарфора под действием  $\gamma$ -облучения при различных значениях мощности экспозиционной дозы излучения (до  $4,8 \times 10^3$  р/сек). Для  $\operatorname{tg} \delta$  и  $\varepsilon$  снималась зависимость от частоты. Измерения проводились при частотах 500 Гц, 1, 10, 20 кГц.

С целью оценки погрешности измерений изучено поведение изоляции кабеля РК-75-9-12 и твердотельного наполнителя измерительной ячейки (компаунд на основе ЭД-5) под действием  $\gamma$ -излучения при мощности экспозиционной дозы излучения  $4,8 \cdot 10^3$  р/сек.

## О траекториях частиц в изохронном циклотроне при наличии ускорения

Ю. К. ХОХЛОВ

Рассматривается плоская траектория частицы, уско-  
ряемой в изохронном циклотроне с произвольными  
числом и расположением ускоряющих промежутков  
(щелей). Щели предполагаются бесконечно тонкими.  
Траектория частицы, имеющей на данном участке  
импульс  $p$ , отсчитывается от соответствующей (при-

образцы в виде дисков с электродами, наносимыми вжиганием серебра из пасты при  $800^\circ\text{C}$ . Образец имел два измерительных электрода и охранное кольцо.

Анализ полученных кривых для различных мощностей экспозиционной дозы излучения при измерении величин  $\rho$ ,  $\operatorname{tg} \delta$  и  $\varepsilon$  показывает, что уменьшение величины  $\rho$  и возрастание величин  $\operatorname{tg} \delta$  и  $\varepsilon$  не исчерпываются радиационным разогревом, а носит более сложный характер, хотя изменение этих величин следует за изменением температуры. После удаления образца исследуемого материала из поля  $\gamma$ -облучения величины  $\rho$ ,  $\operatorname{tg} \delta$  и  $\varepsilon$  восстанавливаются до исходных значений перед облучением.

(№ 407/5490. Поступила в Редакцию 22/VII 1969 г., в окончательной редакции 8/XII 1969 г. Полный текст 0,5 а. л., 6 рис., 6 библиографических ссылок).

УДК 621.384.611

надлежащей тому же  $r$ ) равновесной орбиты  $R(\varphi)$  по формуле

$$r(\varphi) = R(\varphi) + z(\theta)/\cos \psi(\varphi),$$

где  $r$ ,  $\varphi$  — полярные координаты;  $\psi(\varphi)$  — угол падения, определяемый из  $\operatorname{tg} \psi(\varphi) = R'(\varphi)/R(\varphi)$ ;  $\theta$  — обобщенный азимут.